

## 뇌혈류 영상용 방사성의약품 PRODD의 $^{99m}\text{Tc}$ 표지 및 생체내분포

서울대학교병원 핵의학과, 한국과학기술연구원 응용과학부\*

정수욱 · 정재민 · 이동수 · 조정혁\* · 오승준\* · 정준기 · 이명철 · 고창순

= Abstract =

### $^{99m}\text{Tc}$ Labeling and Biodistribution of PRODD as a Cerebral Blood Flow Imaging Radiopharmaceutical

Soo-Wook Chung, B.S., Jae Min Jeong, Ph.D., Dong Soo Lee, M.D.  
Jung-Hyuck Cho, Ph.D.\* , Seung-Joon Oh, M.S.\* , June-Key Chung, M.D.  
Myung Chul Lee, M.D. and Chang-Soon Koh, M.D.

Department of Nuclear Medicine, Seoul National University Hospital, Seoul, Korea  
Division of Applied Science, Korea Institute of Science and Technology\*, Seoul, Korea

$^{99m}\text{Tc}$  labeled PnAO(propylene amine oxime) derivatives have been widely studied as brain perfusion agents. We synthesized and characterized a PnAO derivative, (RR/SS/meso)-4,8-diaza-3,9-dimethylundecane-2, 10-dione bisoxime(PRODD). Proton-NMR spectroscopy and thin layer chromatography(silica gel) were performed for its characterization. PRODD was labeled with  $^{99m}\text{Tc}$  using stannous chloride as reducing agent. The labeling efficiency was determined to be about 85%.

Brain uptakes of  $4.16 \pm 0.42\% \text{ID/g}$  and  $3.24 \pm 0.13\% \text{ID/g}$  were found after 10min and 30min after intravenous injection. Brain-to-blood ratios were 1.17 and 0.75 at 10 and 30 minutes, which were lower than 1.3 and 1.9 of the ratios with commercial  $^{99m}\text{Tc}$ -HMPAO. Autoradiographs of rat brain sections showed the gray matter to white matter ratios of  $1.13 \pm 0.10$  at 30 min after intravenous injection, which was lower than  $1.94 \pm 0.19$  of commercial  $^{99m}\text{Tc}$ -HMPAO.

With the above findings, we concluded that the lipophilic  $^{99m}\text{Tc}$ -PRODD complex was able to cross the blood-brain barrier, however the complex showed lower uptake than  $^{99m}\text{Tc}$ -HMPAO in mouse or rat brains.

We could suggest possibility that PRODD could be used as another  $^{99m}\text{Tc}$  chelator.

**Key Words :** PnAO, PRODD, Biodistribution,  $^{99m}\text{Tc}$  labeling

## 서 론

현재 연구되고 있는 국소뇌혈류를 평가하기 위한 방사성의약품은 대부분  $^{99m}\text{Tc}$ 으로 표지한 착화합물이다.  $^{99m}\text{Tc}$ 으로 표지한 착화합물이 개발되기 이전에 단일

광자방출전산화단층촬영(single photon emission computed tomography, SPECT) 영상용 방사성의약품으로  $^{75}\text{Se}$ 과  $^{123}\text{I}$ 으로 표지한 착화합물이 연구되었지만 SPECT 영상에 부적합한 물리적 특성, 비경제성 등의 단점으로 거의 쓰이지 않고 있다. 이에 반해  $^{99m}\text{Tc}$ 은 SPECT 영상을 연기에 적합한 물리적 특성 ( $t_{1/2}=6.02\text{h}$ ,  $\gamma$ ,  $140\text{keV}$ ),  $^{99}\text{Mo}$  발생기를 통한 이용의 용이성, 경제성 등의 장점을 가진다.

\* 본 논문은 1995년도 서울대학교병원 지정 공동 연구비 (02-95-343)의 보조로 이루어졌다.

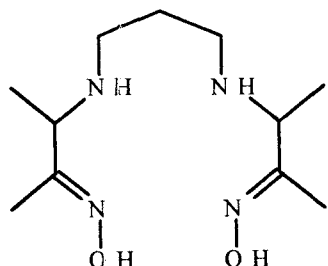


Fig. 1. The chemical structure of PRODD.

국소뇌혈류 측정용 화합물에 대한 최근의 연구는 크게 세 부류로 나눌 수 있다. Ethyl cysteine dimer (ECD)로 대표되는 diaminedithiols(DADT) 유도체 계열, hexamethyl propylene amine oxime (HMPAO)로 대표되는 PnAO(propylene amine oxime) 유도체 계열 그리고 Boronic Acid adducts of Technetium diOximes(BATOs) 등이 그것이다.  $^{99m}$ Tc로 표지한 이들 착화합물은 모두 수동확산에 의해 뇌조직에 섭취되지만 저류기전이 달라 뇌의 분포양상, 뇌의 저류기간, 제거율 등이 서로 다르게 나타난다. 이상적인 뇌혈류 영상제제의 필수조건은 정상적인 뇌혈류에서 뇌혈류를 정확히 반영할 수 있어야 한다. 그런데 위의 뇌혈류 영상제제는 이 점에서 이상적이지는 않고 각각 몇가지의 단점을 가지고 있다. 그러므로 국소뇌혈류를 더욱 정확하게 반영할 수 있는 중성 지용성의  $^{99m}$ Tc 표지 착화합물을 찾아내는 노력이 필요하다<sup>1</sup>.

저자들은 PnAO를 기본구조로하는 PRODD을 합성하였으며(Fig. 1)<sup>2)</sup> 이 연구에서 PRODD의  $^{99m}$ Tc 표지방법의 개발 및 마우스 생체내분포를 조사하고 랫트 뇌에서 자가방사촬영을 시행하여 뇌내분포를 영상화하고 그 결과를 상품화되어 있는  $^{99m}$ Tc-HMPAO와 비교 평가하였다.

## 대상 및 방법

### 1. 기기 및 시약

합성된 화합물은 Varian사의 Gemini 300MHz 핵자기공명 분광계(NMR spectrometer)를 이용하여 동정하였으며, chemical shift는 내부 표준물질인 TMS를 기준으로 하여  $\delta$ -unit로 표시하였다. 녹는점의 측정은 Hoover 용접측정기를 이용하였다. 합성에 사용된 시약은 Aldrich사 제품을 사용하였으며, 유기용매는 Merck사 제품을 사용하였다. Methylene chloride는 calcium chloride로 정제하여 사용하였다. 유기 합성화합물의 분리를 위한 박층크로마토그라피(thin layer chromatography, TLC)는 Kieselgel 60 F<sub>254</sub>(Art, 5715, 0.2mm, Merck)를 사용하였다. 이때 검출법은 254nm의 UV lamp 조사법과 *p*-anisaldehyde 분무법을 병행하였다. 표지효율은  $^{99m}$ Tc로 표지후 표지효율은 ITLC(Gelman)와 paper(Whatman No. 1)를 사용하여 결정하였다. 생물학적 평가를 위한 실험동물은 ICR마우스, SD랫트를 사용하였다.

정은 Hoover 용접측정기를 이용하였다. 합성에 사용된 시약은 Aldrich사 제품을 사용하였으며, 유기용매는 Merck사 제품을 사용하였다. Methylene chloride는 calcium chloride로 정제하여 사용하였다. 유기 합성화합물의 분리를 위한 박층크로마토그라피(thin layer chromatography, TLC)는 Kieselgel 60 F<sub>254</sub>(Art, 5715, 0.2mm, Merck)를 사용하였다. 이때 검출법은 254nm의 UV lamp 조사법과 *p*-anisaldehyde 분무법을 병행하였다.  $^{99m}$ Tc로 표지후 표지효율은 ITLC(Gelman)와 paper(Whatman No. 1)를 사용하여 결정하였다. 생물학적 평가를 위한 실험동물은 ICR마우스, SD랫트를 사용하였다.

### 2. PRODD에 대한 $^{99m}$ Tc 표지와 표지효율 측정

PRODD를 DMSO(dimethyl suloxide)에 용해시켜 약 0.025mg/ $\mu$ l의 농도로 제조하였다. 이중 20 $\mu$ l을 취해 1M carbonate buffer(pH 8) 100 $\mu$ l와 SnCl<sub>2</sub>·2H<sub>2</sub>O 4.0 $\mu$ g을 혼합한 후 0.5ml의 [ $^{99m}$ Tc] NaTcO<sub>4</sub>(0.5mCi)를 가하여 진공 중에서 반응시켰다. 표지효율은 10분 후에 측정하였다.

지용성  $^{99m}$ Tc 착화물과 pertechnetate는 ITLC-SG, acetone에서 용매전선단( $R_f$ =0.9~1.0)까지 이동하였고 pertechnetate 및 지용성  $^{99m}$ Tc 착화물 그리고 그 외 다른 수용성  $^{99m}$ Tc 착화대사를 등을 paper, 50% acetonitrile에서 용매전선단( $R_f$ =0.9~1.0)까지 전개되었다. 그리고 pertechnetate는 ITLC-SG, saline에서 용매전선단( $R_f$ =0.9~1.0)까지 이동하였다. 전개가 끝난 후 각 지지체를 반으로 나누어 방사능측정기에서 각각의 방사능을 측정하여 지용성  $^{99m}$ Tc 착화물, pertechnetate, 수용성  $^{99m}$ Tc 착화대사를, 그리고 콜로이드성  $^{99m}$ Tc의 분율을 계산하였다<sup>3)</sup>.

### 3. 마우스를 이용한 생체분포 조사

$^{99m}$ Tc-PRODD의 생체분포를 조사하기 위해 총 12마리의 ICR마우스( $27 \pm 3$ g)의 무게를 측정한 후 꼬리정맥을 통해  $^{99m}$ Tc-PRODD 100 $\mu$ Ci를 주사하여 10분, 30분, 60분 후에 각각 4마리씩 회생시켰다.

각 마우스의 심장강으로부터 약 500 $\mu$ l의 혈액을 채취하고 뇌, 심장, 폐, 간, 비장, 위장, 장관, 신장, 근육, 지방 그리고 꼬리를 분리하여 각각의 장기별 무게를 측정한 후 감마선계측기를 이용하여 방사능을 계수하

Table 1. Biodistribution of  $^{99m}$ Tc-HMPAO and  $^{99m}$ Tc-PRODD at 10, 30 and 60min in Mouse\*

Organ	% Injected dose/g					
	10 min		30 min		60 min	
	$^{99m}$ Tc-HMPAO	$^{99m}$ Tc-PRODD	$^{99m}$ Tc-HMPAO	$^{99m}$ Tc-PRODD	$^{99m}$ Tc-HMPAO	$^{99m}$ Tc-PRODD
blood	3.62±0.93	3.55±0.42	3.35±0.69	4.28±1.32	2.12±0.78	2.68±0.57
brain	4.07±0.38	4.16±0.42	5.09±0.98	3.24±0.13	4.16±0.46	3.49±0.02
heart	6.48±0.53	9.20±1.26	6.21±0.62	8.65±2.84	5.44±0.47	8.95±0.75
intestine	5.68±0.51	3.58±0.16	5.51±1.59	3.85±0.72	6.10±0.83	4.48±1.87
kidney	15.7±3.04	10.73±1.13	11.45±4.31	8.85±1.46	8.48±1.23	7.50±1.09
liver	7.86±1.33	8.83±0.58	6.64±1.38	8.23±1.44	5.21±0.38	7.12±1.32
lung	21.53±1.91	19.61±3.47	18.21±2.31	18.3±3.57	15.99±0.99	17.63±4.70

\* Mean±SD(n=3)

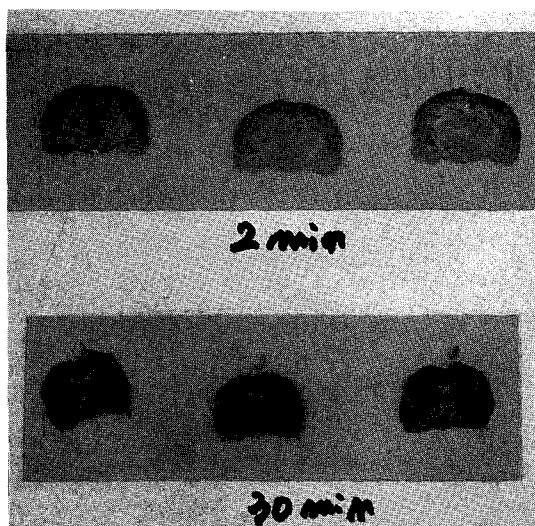


Fig. 2. The autoradiograms of  $^{99m}$ Tc-PRODD at 2 min and 30 min after injection in rats.

였다. 이때 전체 혈액, 근육, 지방의 무게는 총 전체 무게의 5%, 43%, 0.7%로 계산하였다<sup>4)</sup>.

투여한 방사능량과 장기내 방사능치를 측정하여 각 장기당 섭취율(% injected dose/organ, % injected dose/g)을 계산하였다. 그리고 그 결과를 상품화되어 있는  $^{99m}$ Tc-HMPAO와 비교평가하였다.

#### 4. 랫트 뇌에 $^{99m}$ Tc-PRODD 분포의 자가방사 촬영

$^{99m}$ Tc-PRODD의 뇌 분포를 조사하기 위하여 랫트를 ether로 약 5분간 마취한 다음  $^{99m}$ Tc-PRODD 10mCi를 대퇴정맥을 통해 주사하였다. 30분 후 랫트

를 회생시키고 뇌를 적출 하여 20μm의 냉동절편을 구하였다. 이것을 X-ray필름과 24시간 동안 접촉시켜 자가방사촬영 영상을 얻었고 음영농도계(densitometer)를 이용해 백질 대 회백질의 방사능분포비를 계산하였다. 그리고 그 결과를 상품화되어 있는  $^{99m}$ Tc-HMPAO와 비교평가하였다.

#### 결 과

PRODD의 표지 효율은 약 85% 였다. 마우스의 뇌에  $^{99m}$ Tc-PRODD는 10분에 약 4.16±0.42 %ID/g이 최대로 섭취된 후 일부 배출되어 60분 후에는 3.49±0.02 %ID/g이 되는 반면  $^{99m}$ Tc-HMPAO는 30분 까지 약 5.09±0.98 %ID/g 섭취가 이루어진 후 배출되어 60분에 4.16±0.46 %ID/g이 되었다(Table 1).  $^{99m}$ Tc-PRODD는 주사후 대부분의 방사능이 신장과 폐에 존재하였고 혈액 내 방사능은 10분후 최대 3.62±0.93 %ID/g에 도달한 후 서서히 감소하였다.

랫트의 두뇌에 대한 자가방사촬영 결과  $^{99m}$ Tc-PRODD,  $^{99m}$ Tc-HMPAO에 대해 각각 1.13±0.10, 1.94±0.19의 회백질 대 백질의 방사능분포비 결과를 얻었다(Fig. 2).

#### 고 칠

PRODD는  $\text{SnCl}_2 \cdot 2\text{H}_2\text{O}$ 의 양과 pH의 넓은 범위에서  $^{99m}$ Tc와 반응하여 높은 표지효율을 갖는 중성 지용성의 착화합물이 되었다. 이렇게 PRODD가 비교적 높은 표지효율을 가지며  $^{99m}$ Tc와 표지될 수 있는

것은 입체적으로 HMPAO와 유사한 구조를 가지는 PnAO계열의 화합물이기 때문인 것으로 생각된다<sup>5)</sup>.

PnAO는  $^{99m}\text{Tc}$ 와 결합시 대개 안정한 중성의 지용성 착화합물로 된다. 이러한 화합물이 중성인 것은 결합시 두개의 amine protons와 하나의 oxime proton을 잃어버리며 전체적으로 전하를 중성으로 만드는 데 기인한다<sup>6)</sup>. 이렇게 생성된 착화합물의  $^{99m}\text{Tc}$ 은 산화수가 +5인 것으로 알려져 있다. 그리고 oxime group사이에 강한 수소 결합으로 인해 열역학적 및 동력학적으로 안정한 pseudo-macrocycle이 만들어 진다는 보고가 있다<sup>7)</sup>.

$^{99m}\text{Tc}$ -PRODD는 마우스의 뇌로 빠르게 섭취되었지만 뇌로부터의 제거도 빠르게 일어났다. 이에 반해  $^{99m}\text{Tc}$ -HMPAO는 30분까지 뇌에 대한 섭취가 지속되었고 그 후에는 서서히 제거되었다. 그리고 랫트 뇌에 대한  $^{99m}\text{Tc}$ -PRODD의 자가방사촬영 실험에서도  $^{99m}\text{Tc}$ -PRODD가 뇌에 높은 비율로 섭취되었다가 빠르게 뇌로부터 제거되는 같은 결과를 보여주었다.

따라서  $^{99m}\text{Tc}$ -PRODD는 기존의 뇌혈류 영상제제인  $^{99m}\text{Tc}$ -HMPAO를 대체하는 것이 부적절하지만 PnAO가  $^{99m}\text{Tc}$ 와 안정한 지용성  $^{99m}\text{Tc}$ 복합체를 형성하며 oxime group사이의 수소 결합에 의해 제공되는 안정성은 PnAO를 모핵으로 하는 유도체에 대한 연구에 응용할 수 있다고 생각된다.

## 결 론

본 연구는 PnAO의 유도체인 PRODD에 대한  $^{99m}\text{Tc}$ 의 표기효율, 마우스에서의 생체내분포 및 랫트 뇌에서의 자가방사촬영 등의 실험을 통해 PRODD가 기존에 상품화된 뇌혈류 영상제제인 HMPAO를 대체 할 수 있는가를 비교평가했다. 이로부터 PRODD에

대한  $^{99m}\text{Tc}$ 의 표기 효율은 80%정도로 비교적 높았지만 마우스 뇌에서의 섭취와 랫트 뇌에 대한 자가방사촬영은 뇌내의 섭취가  $^{99m}\text{Tc}$ -HMPAO보다 낮은 결과를 보였다.

본 연구에서 저자들은 PnAO유도체의 합성 및 검색과정의 예를 제시할 수 있었다.

## REFERENCES

- Corlija M, Volkert WA: *Biolocalization and cell labeling properties of neutral-lipophilic  $^{99m}\text{Tc}$ -amine-phenol chelates*. *Nucl Med Biol* 1990;18: 167-172
- 오승준: 혈류 평가용 방사성의약품의 개발에 관한 연구, 석사학위논문 1994;12-13
- Nakamura K: *The behavior of  $^{99m}\text{Tc}$ -hexamethyl-propyleneamineoxime in blood and brain* *Eur J Nucl Med* 1989;15:100-107
- Neirinckx RD, Channing LR, Piper IM:  $^{99m}\text{Tc-d, l-HMPAO}$ ; *A new radiopharmaceutical for SPECT imaging of regional cerebral blood perfusion* *J Nucl Med* 1987;28:191-201
- 정재민, 조정혁, 오승준, 이명철, 정수욱, 정준기, 이동수, 곽철온, 이경한, 고창순: *Dione Bisoxime*계통의 화합물에 대한 테크네슘표지 원리에 관한 연구. 대한 학의학회지 1995;29:110-117
- Volkert WA, Hoffman TJ, Seger RM, Troutner DE, Holmes RA:  $^{99m}\text{Tc}$ -propylene amine oxime; *a potential brain radiopharmaceutical*. *Eur J Nucl Med* 1984;9:511-516
- Jurisson S, Aston K, Fair CK, Schlemper EO, Sharp PR, Troutner DE: *Effect of ring size on properties of technetium amine oxime complexes. X-ray structures of  $\text{TcO}_2\text{Pent(AO)}_2$ , which contains an unusual eight-membered chelate ring, and of  $\text{TcOEn(AO)}_2$* . *Inorg Chem* 1987;12:3576